

09

## Коэффициент усиления сетчатых рефлекторных параболических антенн произвольной глубины

© В.П. Акимов, С.Б. Глыбовский, В.К. Дубрович

Санкт-Петербургский государственный политехнический университет  
Научный центр прикладной электродинамики, Санкт-Петербург  
E-mail: sgbs@mail.ru

Поступило в Редакцию 3 октября 2012 г.

Получены аналитические выражения, позволяющие рассчитать коэффициент усиления сетчатого параболического зеркала при произвольном соотношении фокусного расстояния и диаметра апертуры. Результаты получены для случая густой тонкопроволочной сетки с квадратными ячейками и идеальными контактами проводников в узлах с помощью метода усредненных граничных условий. Показаны особенности влияния „сетчатости“ на усиление зеркал различной глубины.

В технике зеркальных антенн часто используются металлические сетки в качестве материала рефлектора, что имеет целый ряд эксплуатационных преимуществ по сравнению со сплошными зеркалами. Для плоских сеток с различными топологиями проводников задача расчета отражательных свойств была решена методом усредненных граничных условий Конторовича [1] и получены коэффициенты отражения падающей плоской электромагнитной волны (ЭМВ). Данные результаты применялись затем и для расчета направленных свойств сетчатого параболического зеркала в приближении постоянного поверхностного импеданса методом интегральных уравнений, а также с использованием коэффициентов отражения методом физической оптики [2]. Однако при этом предполагалось, что отражательные свойства сетки можно считать одинаковыми в разных точках зеркала, что справедливо, строго говоря, лишь для рефлекторов с большим отношением фокусного расстояния  $F$  к диаметру апертуры  $D$ .

В данной статье решается задача о влиянии „сетчатости“ на коэффициент усиления параболического зеркала с произвольным соотношением  $F$  и  $D$  в аналитической форме. За основу взяты результаты, получен-

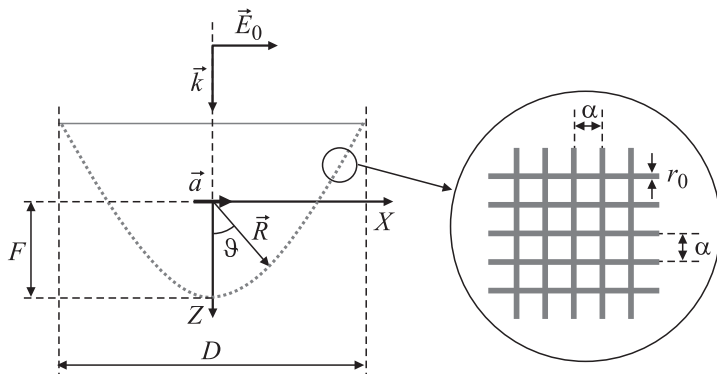


Рис. 1. Постановка задачи и выбранная система координат.

ные авторами при расчете корректирующего сетчатого рефлектора для неровного параболического зеркала [3]. Постановка задачи показана на рис. 1. Центр сферической системы координат  $(R, \vartheta, \varphi)$  выбран в фокусе параболоида с фокусным расстоянием  $F$ , причем ось  $OZ$  ориентирована в направлении вершины параболоида. Поверхность параболоида описывается уравнением  $R = 2F/(1 + \cos \vartheta)$ , причем для точек на краю апертуры диаметром  $D$  угол  $\vartheta_{\max}$ , который составляет радиус-вектор с осью  $OZ$ , такой, что  $\cos(\vartheta_{\max}/2) = (1 + D^2/16F^2)^{-1/2} = C$ . Рассматривается осевое падение плоской ЭВМ с длиной  $\lambda$  и амплитудой  $\vec{E}_0$ , поляризованной вдоль оси  $OX$ .

В соответствии с принципом Гюйгенса–Кирхгофа дифракционное поле  $\vec{E}^S$  в фокусе параболоида может быть найдено в форме интеграла по поверхности  $S$  параболоида [4]:

$$\vec{E}^S \vec{a} = \int_S \left\{ [\vec{n} \times \vec{H}_\tau] \vec{E}^D + [\vec{n} \times \vec{E}_\tau] \vec{H}^D \right\} dS, \quad (1)$$

где  $\vec{E}_\tau$  и  $\vec{H}_\tau$  — полные касательные составляющие электрического и магнитного полей;  $\vec{n}$  — внешняя нормаль,  $\vec{E}^D$  и  $\vec{H}^D$  — электрическое и магнитное поля в точке интегрирования электрического диполя с моментом  $\vec{a}$ , расположенного в фокусе.

Будем считать, что сетка параболоида имеет квадратную ячейку и идеальные электрические контакты проводников в узлах. Кроме того, она является достаточно плотной, а проводники проводимостью  $\sigma_i$  и

магнитной проницаемостью  $\mu_i$  — достаточно тонкими:  $r_0 \ll \alpha$ ,  $\alpha \ll \lambda$ , где  $r_0$  — радиус проводника,  $\alpha$  — период сетки. Также предполагается, что  $D$  и  $F$  многократно превышают  $\lambda$ . В силу указанных предположений можно с достаточной степенью точности считать форму ячейки сетки на параболической поверхности квадратной. Считая радиус кривизны поверхности много большим длины волны, воспользуемся приближением физической оптики. Полное поле на поверхности  $\vec{E}_\tau$  в (1) можно выразить с помощью коэффициентов отражения от плоской сетки в виде

$$\vec{E}_\tau = [\vec{\tau}^H E_0^H (1 + R^{HH}) + \vec{\tau}^E E_0^E (1 - R^{EE})] \exp(-ikz), \quad (2)$$

где  $k = 2\pi/\lambda$  — волновое число;  $z$  — вертикальная координата точки интегрирования;  $\vec{\tau}^E, \vec{\tau}^H$  — касательные составляющие ортов, задающих направление электрического поля  $E$ - и  $H$ -поляризованных компонент падающей волны, а  $E_0^E, E_0^H$  — соответствующие значения комплексных амплитуд. Аналогичную формулу можно получить и для  $\vec{H}_\tau$ . Так как локальный угол падения волны равен  $\vartheta/2$ , то входящие в (2) коэффициенты отражения равны [1]:

$$R^E = \frac{\cos(\vartheta/2)}{\cos(\vartheta/2) + i\kappa[1 + \Psi - 0.5 \sin^2(\vartheta/2)]};$$

$$R^H = \frac{-1}{1 + i\kappa \cos(\vartheta/2)(1 + \Psi)}, \quad (3)$$

где  $\kappa = \frac{2\alpha}{\lambda} \ln\left(\frac{\alpha}{2\pi r_0}\right)$  — параметр сетки, а величина  $\Psi$  учитывает скин-эффект:

$$\Psi = \Psi_1 + i\Psi_2$$

$$= -\frac{\mu_i}{\ln(\alpha/2\pi r_0)} \frac{(1-i)}{r_0} \sqrt{\frac{1}{2\omega\mu_0\mu_i\sigma_i}} \frac{J_0[r_0(1-i)\sqrt{\omega\mu_0\mu_i\sigma_i/2}]}{J_1[r_0(1-i)\sqrt{\omega\mu_0\mu_i\sigma_i/2}]},$$

где  $\mu_0 = 4\pi \cdot 10^{-7}$  Н/м;  $\omega = 2\pi f$  — круговая частота;  $J_m(x)$  — функция Бесселя порядка  $m$ .

После подстановки (3) с учетом (2), а также выражений для  $\vec{E}^D, \vec{H}^D, E_0^E, E_0^H, \vec{\tau}^E$  и  $\vec{\tau}^H$ , записанных в выбранной системе координат в (1), можно перейти к однократному интегралу по углу  $\vartheta$  в пределах от 0 до  $\vartheta_{\max}$ . Затем, используя замену  $\xi = \cos(\vartheta/2)$ , можно получить

выражение для  $x$ -компоненты электрического поля в фокусе:

$$E_x^S = -2ikFE_0(2I_1 + I_2) \\ = -2ikFE_0 \left\{ 2 \int_1^C \frac{(2\xi^2 - 1)d\xi}{2\xi + i\kappa(1 + 2\Psi + \xi^2)} + \int_1^C \frac{d\xi}{\xi[1 + i\kappa\xi(1 + \Psi)]} \right\}. \quad (4)$$

Путем выделения вещественной и мнимой частей подынтегральных функций (4) и разложения полученных слагаемых на рациональные дроби выражения для слагаемых  $I_1$  и  $I_2$  могут быть получены после интегрирования в замкнутой форме:

$$I_1 = \frac{-i}{\kappa} \left\{ 2C - 2 - \frac{K_1}{2} \ln \left[ \frac{(C - v_1/\sqrt{2})^2 + \beta_1^2}{(1 - v_1/\sqrt{2})^2 + \beta_1^2} \right] - iK_1 \left[ \operatorname{arctg} \left( \frac{C - v_1/\sqrt{2}}{\beta_1} \right) - \operatorname{arctg} \left( \frac{1 - v_1/\sqrt{2}}{\beta_1} \right) \right] - \frac{K_2}{2} \ln \left[ \frac{(C + v_1/\sqrt{2})^2 + \beta_2^2}{(1 + v_1/\sqrt{2})^2 + \beta_2^2} \right] - iK_2 \left[ \operatorname{arctg} \left( \frac{C + v_1/\sqrt{2}}{\beta_2} \right) - \operatorname{arctg} \left( \frac{1 + v_1/\sqrt{2}}{\beta_2} \right) \right] \right\}; \\ I_2 = \ln C - \frac{i(1 + \Psi)}{2[\Psi_2 - i(1 + \Psi_1)]} \left[ -2i \left( \operatorname{arctg} \frac{[\Psi_2^2 + (1 + \Psi_1)^2]C\kappa - \Psi_2}{1 + \Psi_1} - \operatorname{arctg} \frac{[\Psi_2^2 + (1 + \Psi_1)^2]\kappa - \Psi_2}{1 + \Psi_1} \right) - \ln \frac{\kappa^2 C^2 [\Psi_2^2 + (1 + \Psi_1)^2] - 2\kappa\Psi_2 C + 1}{\kappa^2 [\Psi_2^2 + (1 + \Psi_1)^2] - 2\kappa\Psi_2 + 1} \right], \quad (5)$$

где коэффициенты  $K_1$  и  $K_2$  рассчитываются по следующим формулам:

$$K_1 = -\frac{4i}{\kappa} - K_2; \\ K_2 = \frac{-13 + 4\Psi_1 + 4\kappa^{-2} - 2\sqrt{2}v_2\kappa^{-1} + i(4\Psi_2 + 2\sqrt{2})v_1\kappa^{-1}}{\sqrt{2}v_1 + iv_2},$$

а выражения для остальных задействованных величин приведены ниже:

$$\beta_1 = \kappa^{-1} + v_2/\sqrt{2}; \quad \beta_2 = \kappa^{-1} - v_2/\sqrt{2}; \\ v_{1,2} = \sqrt{\sqrt{(\kappa^{-2} + 1 + 2\Psi_1)^2 + 2\Psi_2^2} \mp (\kappa^{-2} + 1 + 2\Psi_1)}.$$

Далее с помощью полученного выражения (4) для  $E_x^S$  определяется коэффициент использования площади апертуры (КИП)  $\nu$ , равный отношению коэффициента усиления (КУ) антенны с сетчатым зеркалом  $G^{mesh}$  к КУ антенны со сплошным зеркалом  $G^{solid}$ . Предполагается, что уровень принимаемого сигнала в каждом случае пропорционален уровню  $x$ -компоненты поля в фокусе. Тогда КИП можно определить как  $\nu = |E_x^{S mesh} / E_x^{S solid}|^2$ , где  $E_x^{S mesh}$  рассчитывается по формулам (4)–(5), в то время как поле  $E_x^{S solid}$  может быть найдено посредством предельного перехода  $\kappa \rightarrow 0$  в формуле (4). Полученный таким образом интеграл легко вычисляется, что приводит к следующему выражению для КИП:

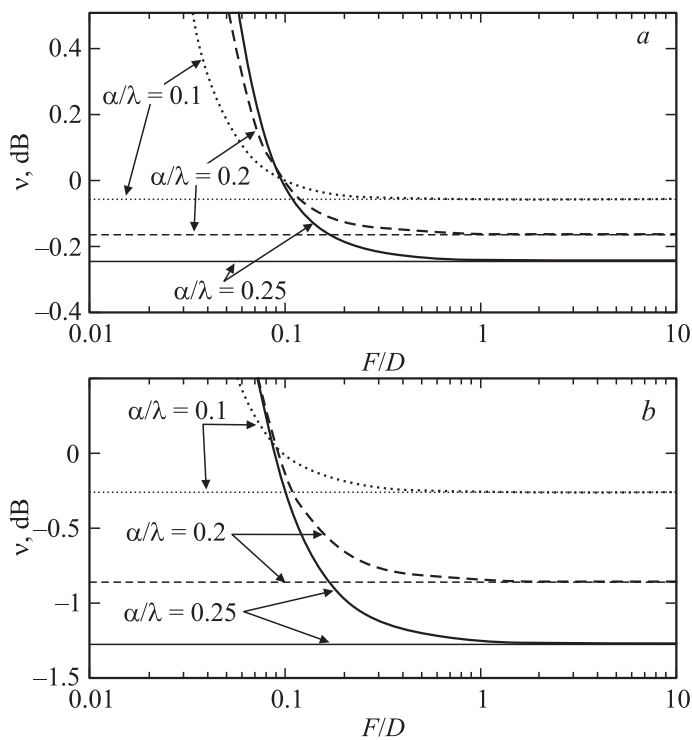
$$\nu = \frac{|2I_1 + I_2|^2}{(C^2 - 1)^2}. \quad (6)$$

При отсутствии омических потерь в проводниках сетки  $\Psi = 0$ , и выражение для КИП существенно упрощается:

$$\begin{aligned} \nu = \frac{1}{(C^2 - 1)^2} & \left\{ \left[ \frac{1}{\kappa} \left( \frac{3\kappa + 4\gamma_1}{2\sqrt{\kappa^2 + 1}} \ln \frac{C^2 + \gamma_1^2}{1 + \gamma_1^2} - \frac{3\kappa - 4\gamma_2}{2\sqrt{\kappa^2 + 1}} \ln \frac{C^2 + \gamma_2^2}{1 + \gamma_2^2} \right) \right. \right. \\ & \left. \left. + \ln C - \frac{1}{2} \ln \frac{1 + \kappa^2 C^2}{1 + \kappa^2} \right]^2 \right. \\ & \left. + \left[ \frac{2}{\kappa} \left( 2C - 2 + \frac{3\kappa + 4\gamma_1}{2\sqrt{\kappa^2 + 1}} \left( \operatorname{arctg} \frac{1}{\gamma_1} - \operatorname{arctg} \frac{C}{\gamma_1} \right) \right) \right. \right. \\ & \left. \left. + \frac{3\kappa - 4\gamma_2}{2\sqrt{\kappa^2 + 1}} \left( \operatorname{arctg} \frac{1}{\gamma_2} - \operatorname{arctg} \frac{C}{\gamma_2} \right) + \operatorname{arctg}(C\kappa) - \operatorname{arctg} \kappa \right]^2 \right\}, \quad (7) \end{aligned}$$

где  $\gamma_{1,2} = (\sqrt{\kappa^2 + 1} \pm 1)/\kappa$ .

Таким образом, учет „сетчатости“ произвольного параболического зеркала может быть осуществлен умножением КУ соответствующего сплошного зеркала на величину КИП, рассчитываемую по формулам (6), (7). На рис. 2 приведено семейство зависимостей КИП от соотношения  $F/D$  для сеток различной плотности. Заметим, что КИП зависит только от соотношения  $F$  и  $D$ , в то время как КУ пропорционален квадрату  $F$ , либо  $D$ . Кривые, проведенные жирной линией на рис. 2, *a*, представлены для  $r_0/\alpha = 0.1$ , и трех значений  $\alpha/\lambda$  для частоты 300 GHz,  $\sigma_i = 11.5$  MS/m. Также на рис. 2, *a* представлены тонкие горизонтальные прямые линии, соответствующие приближению,



**Рис. 2.** Зависимости КИП от  $F/D$  при  $r_0/\alpha = 0.1$  (a),  $r_0/\alpha = 0.05$  (b).

сделанному в [2], и рассчитанные по следующей формуле:

$$v \approx |R^E(0)|^2 = |R^H(0)|^2. \quad (8)$$

На рис. 2, b приведены аналогичные характеристики, но для случая  $r_0/\alpha = 0.05$ .

Из графиков, представленных на рис. 2, видно, что КИП, вносимый за счет замены металлического зеркала сетчатым, рассчитанный по полученным формулам (4), (5), зависит от  $F/D$  и заметно отличается от найденного по формуле (8) уже в диапазоне  $F = (0.25 \div 1)D$ . Для мелких зеркал ( $F/D \gg 1$ ) отражение в каждой точке поверхности параболоида происходит практически под одним и тем же углом, близким к нулю. Поэтому КУ сетчатого зеркала оказывается

пропорциональным квадрату модуля коэффициента отражения сетки для нормального падения. В результате происходит снижение КУ по сравнению со сплошным зеркалом ( $\nu < 1$ ). Для глубоких же зеркал области, далекие от центра параболоида, отражают падающую волну в фазе, если близки к плоскости поляризации ( $XOZ$ ), и в противофазе, если они близки к ортогональной плоскости ( $YOZ$ ). Таким образом, области, равноудаленные от центра параболоида, могут отражать волну с фазой, отличающейся на  $\pi$  из-за различия в типе поляризации. Этот эффект, присущий сплошному металлическому зеркалу, снижает КУ с уменьшением фокусного расстояния при постоянном диаметре апертуры из-за перехода энергии падающей волны в кросс-поляризованную составляющую поля. С другой стороны, тонкопроволочная сетка при падении волны под скользящим углом имеет коэффициент отражения по  $H$ -поляризации, близкий к  $-1$  (как и сплошное зеркало), но в случае  $E$ -поляризации падающей волны становится почти прозрачной. Поэтому часть зеркала начинает пропускать падающее излучение, вместо того чтобы создавать противофазную отраженную волну. В итоге, несмотря на потерю мощности за счет пропуска  $E$ -поляризации, КУ сетчатого зеркала может оказаться выше, чем в случае сплошного за счет отсутствия противофазных отраженных волн. Сказанное иллюстрируется кривыми на рис. 2, где  $\nu > 1$  при  $F/D \ll 1$ .

Заметим в заключение, что результаты данной работы справедливы для параболических антенн с облучателем в виде точечного диполя. Однако принцип повышения КУ глубокого зеркала при переходе от сплошной отражающей поверхности к сетчатой действует для произвольного линейно-поляризованного облучателя, значительно не превышающего по размерам фокальное пятно.

## Список литературы

- [1] Конторович М.И., Астрахан М.И., Акимов В.П., Ферсман Г.А. Электродинамика сетчатых структур. М.: Радио и связь, 1987. 135 с.
- [2] David C. Jenn, Prata A.Jr., Willard V.T. Rusch, Barclay M.R. // IEEE Trans. on Antennas and Propagation. 1989. V. 37. N 11. P. 1484–1486.
- [3] Акимов В.П., Глыбовский С.Б., Дубрович В.К. // Научно-технические ведомости СПбГПУ. Информатика, телекоммуникации, управление. 2011. № 3(126). С. 52–61.
- [4] Каценеленбаум Б.З. Высокочастотная электродинамика. М.: Наука, 1966. 240 с.